

磁気円二色性で探る 分子・ナノ炭素-磁性金属の спин状態

松本吉弘¹, 圓谷志郎¹, 北条育子², 藤川高志², 横山利彦³, 境誠司¹
(原子力機構先端基礎研¹, 千葉大融合², 分子研³)

1. はじめに(C_{60} -Co薄膜の巨大磁気抵抗効果)
2. C_{60} -Co薄膜の磁気円二色性分光
3. C_{60} -Co化合物 / 強磁性金属界面の磁気状態
4. まとめ

— What's “Molecular Spintronics” ?

スピントロニクス

- 電子の持つ спинの性質を利用(スピントルーピングの生成, 輸送, 制御)
⇒ 金属系材料を中心に発展
- 非金属系材料(半導体, 有機分子)へ展開
⇒ 分子スピントロニクス

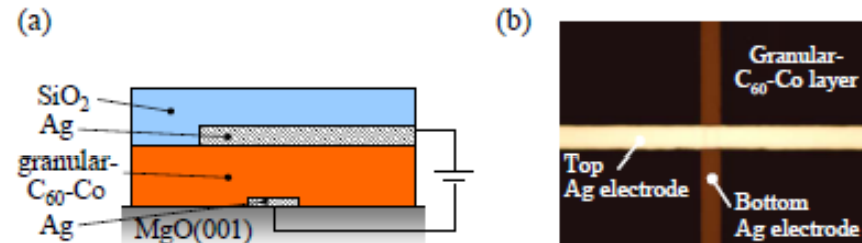
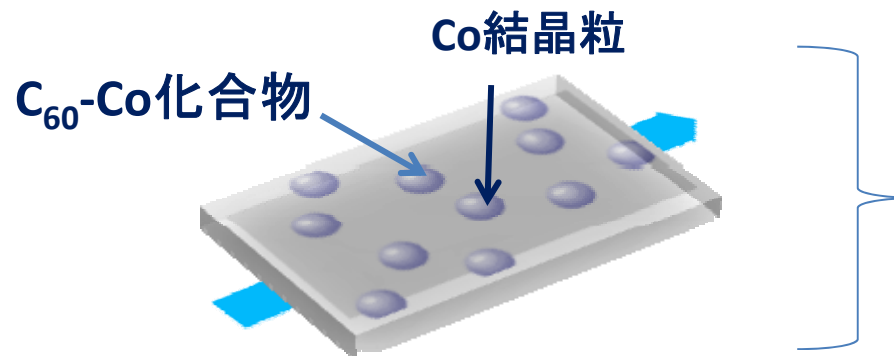


OM/FM interface

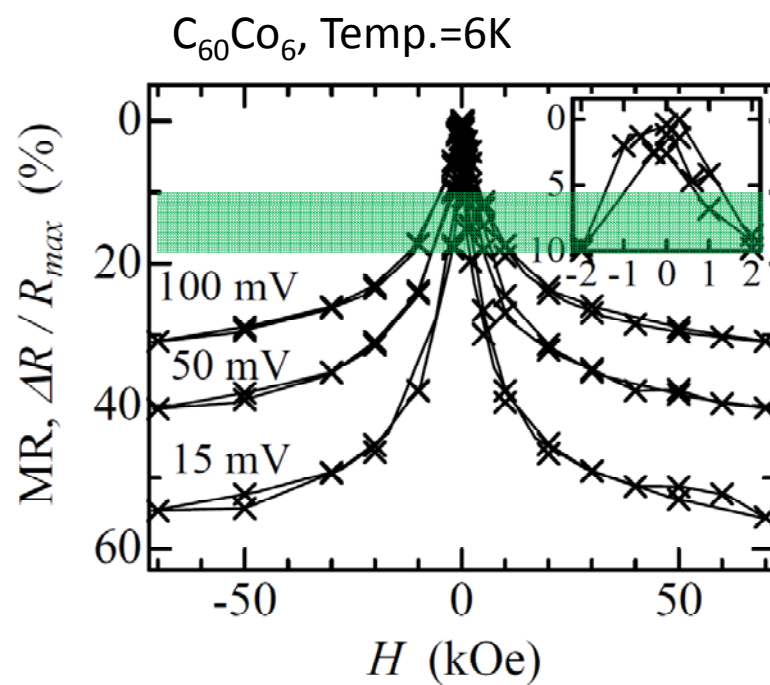
有機分子を使うメリット

- スピントルーピングの影響が小さい
⇒ 優れたスピントルーピング緩和長・時間が期待
- 分子軌道準位で交換相互作用を制御可能

TMR effect in granular C₆₀-Co film



S. Sakai et al., Phys. Rev. B, 2011



$$MR = P^2 / (1 + P^2)$$

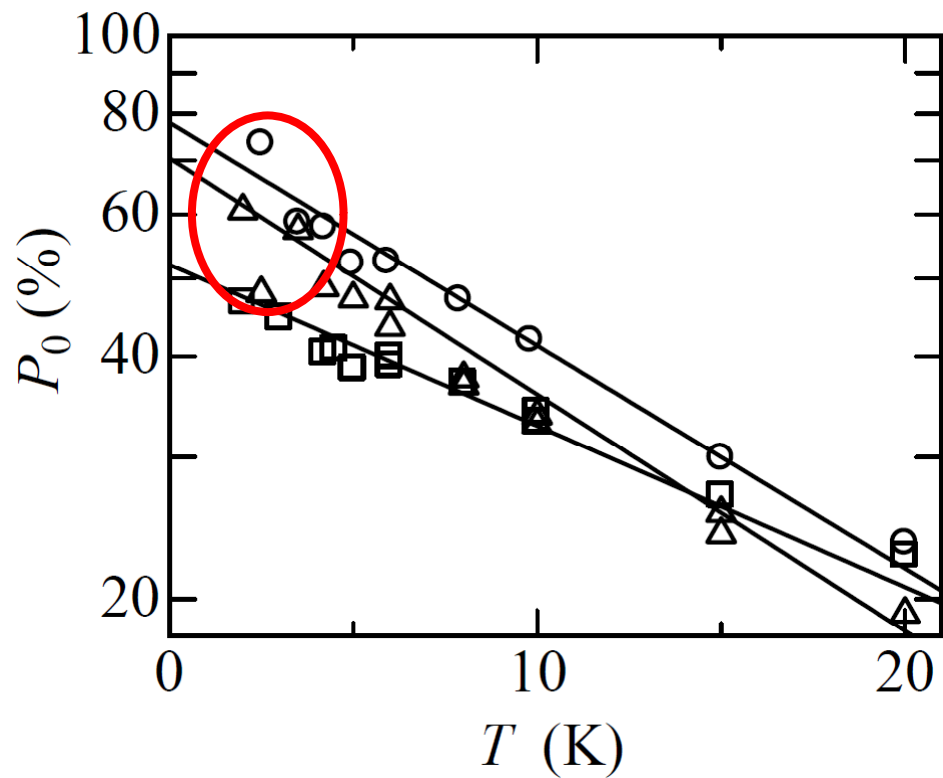
$$P = 34\% \text{ (Co crystal)}$$

- ✓ MR(Co @ Al-O matrix) = ~20%
 S. Mitani, et al., Phys. Rev. Lett. **81** (1998) 2799.

- ✓ MR(Co @ C₆₀ matrix) = ~30%
 H. Zare-Kolsarakia, Eur. Phys. J. B **40**, 103 (2004).

— TMR effect in granular C₆₀–Co film

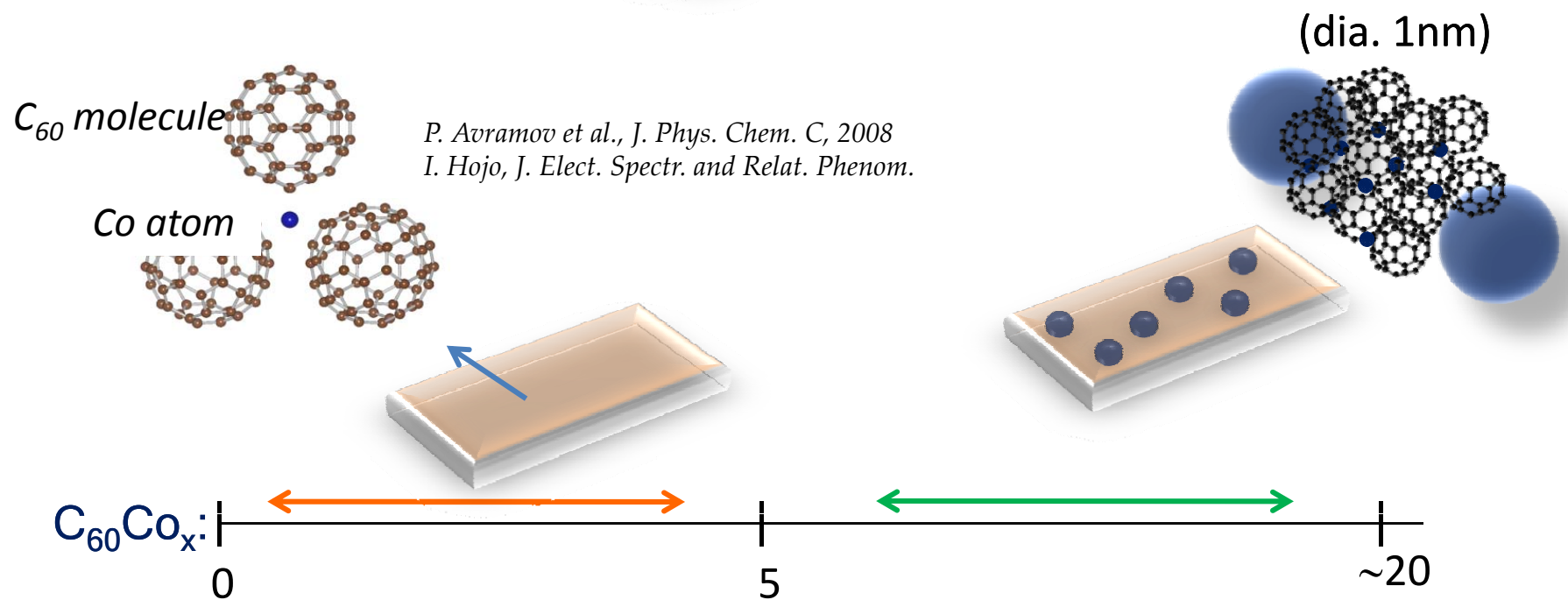
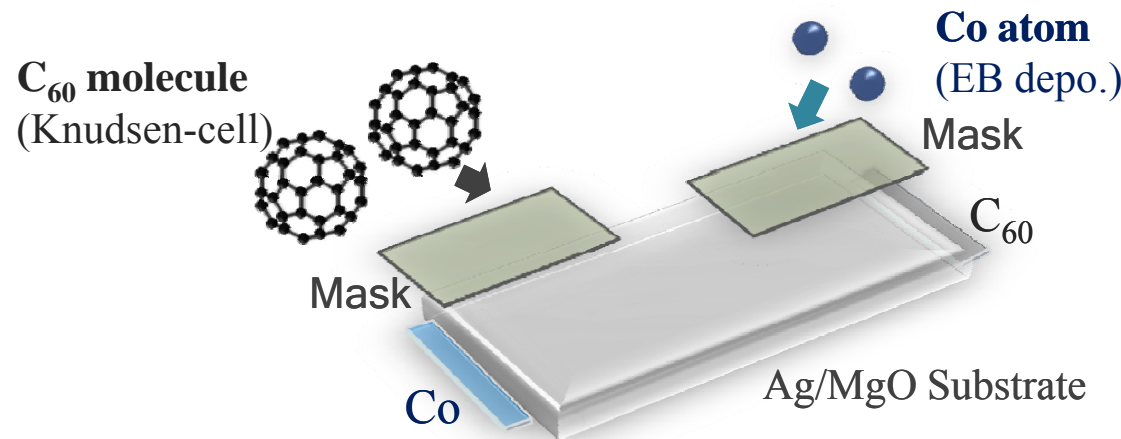
Spin polarization of tunnel electrons



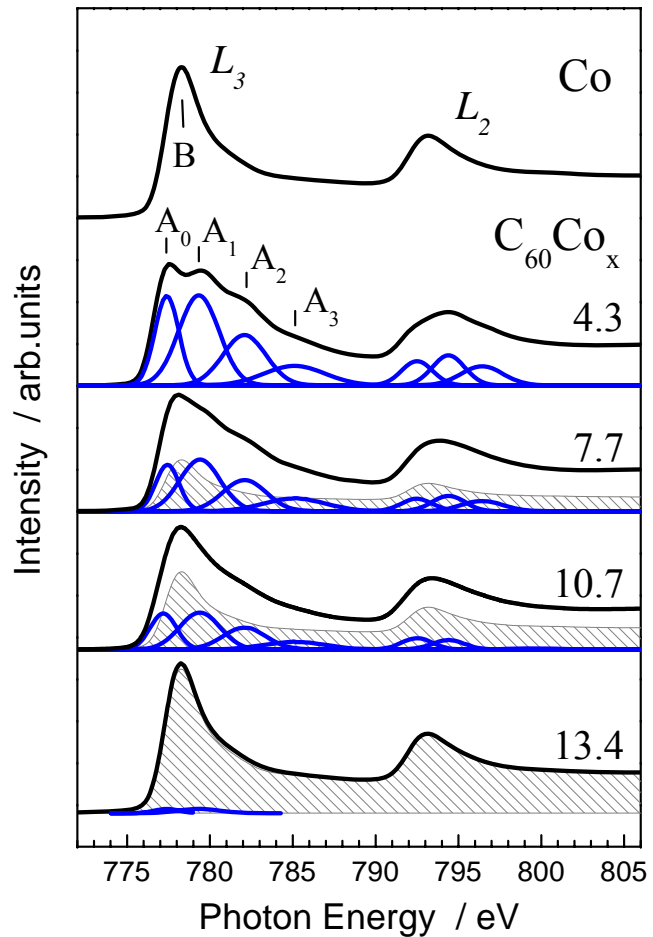
Zero-bias spin polarization
vs. temperature for three
different samples
(C₆₀Co₆, C₆₀Co₇ and C₆₀Co₈)

S. Sakai et al., Phys. Rev. B, 2011

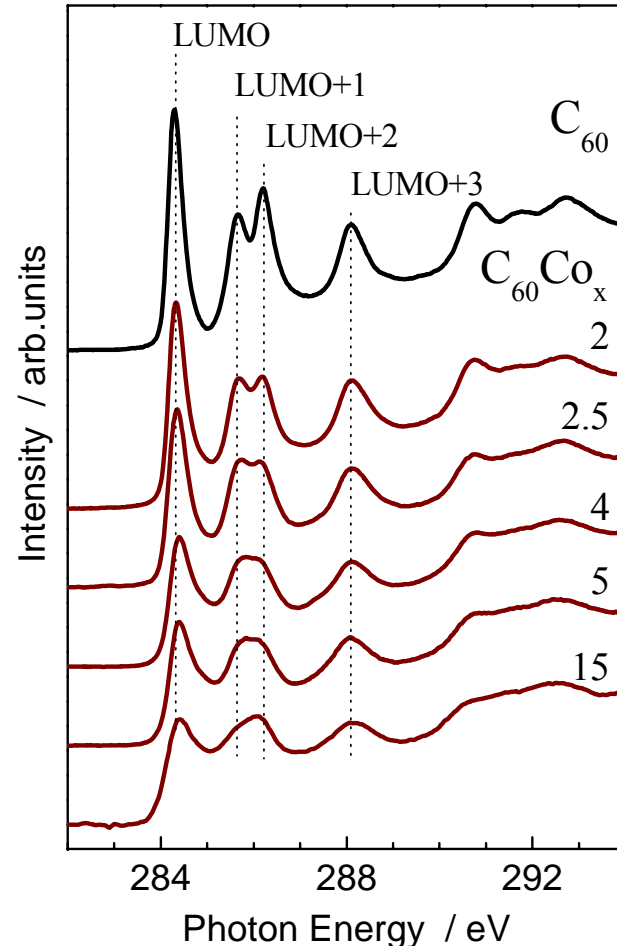
— TMR effect in granular C_{60} –Co film



— Co L -edge and C K -edge XAFS

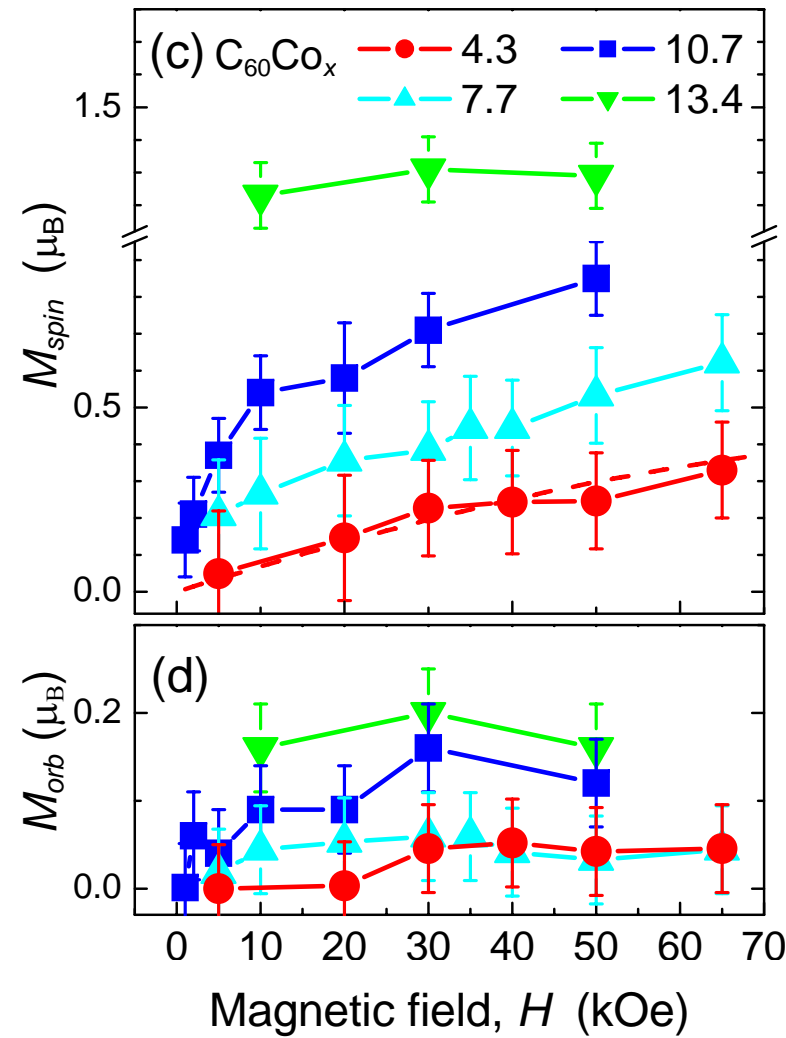
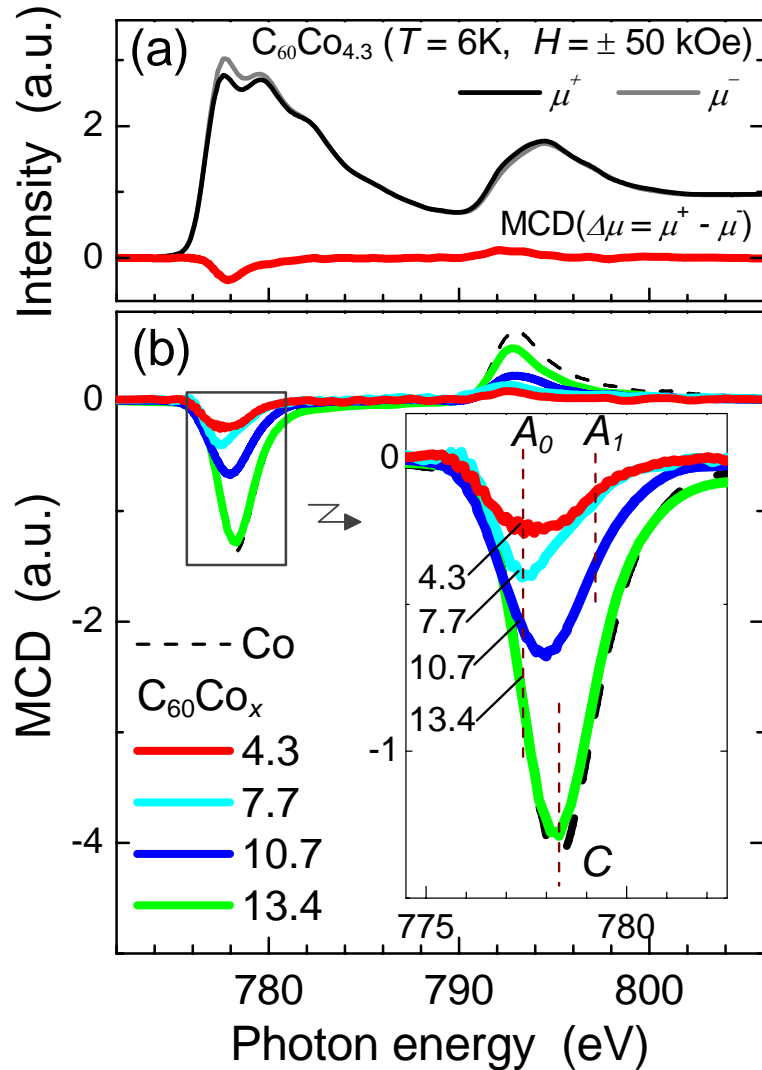


Multiplet splitting of Co 3d levels
(777.6, 779.2, 781.9, 785.3 eV@ L_3 -edge)

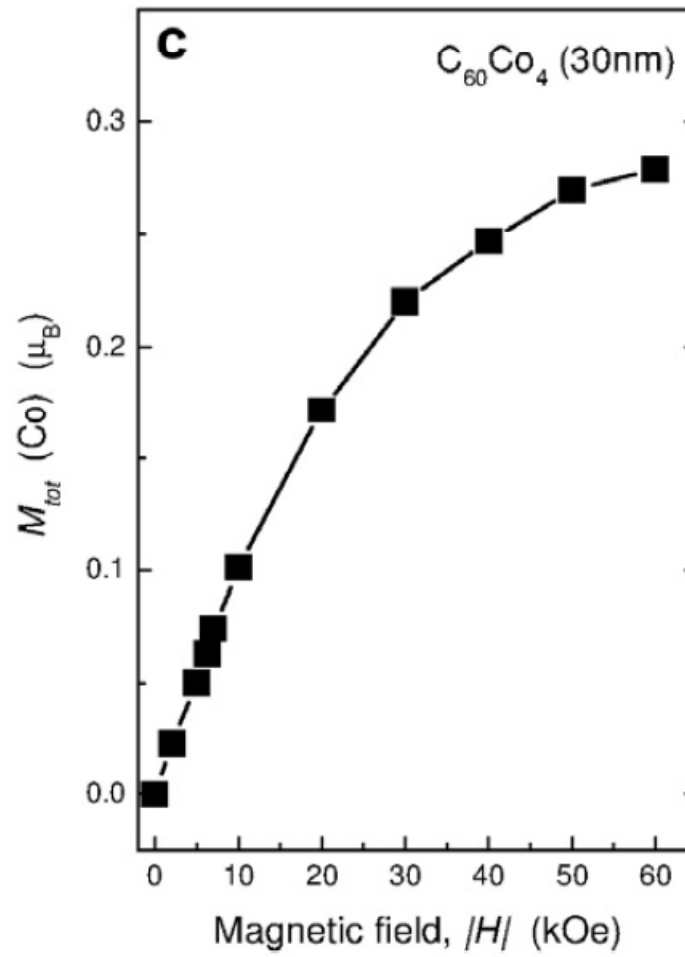
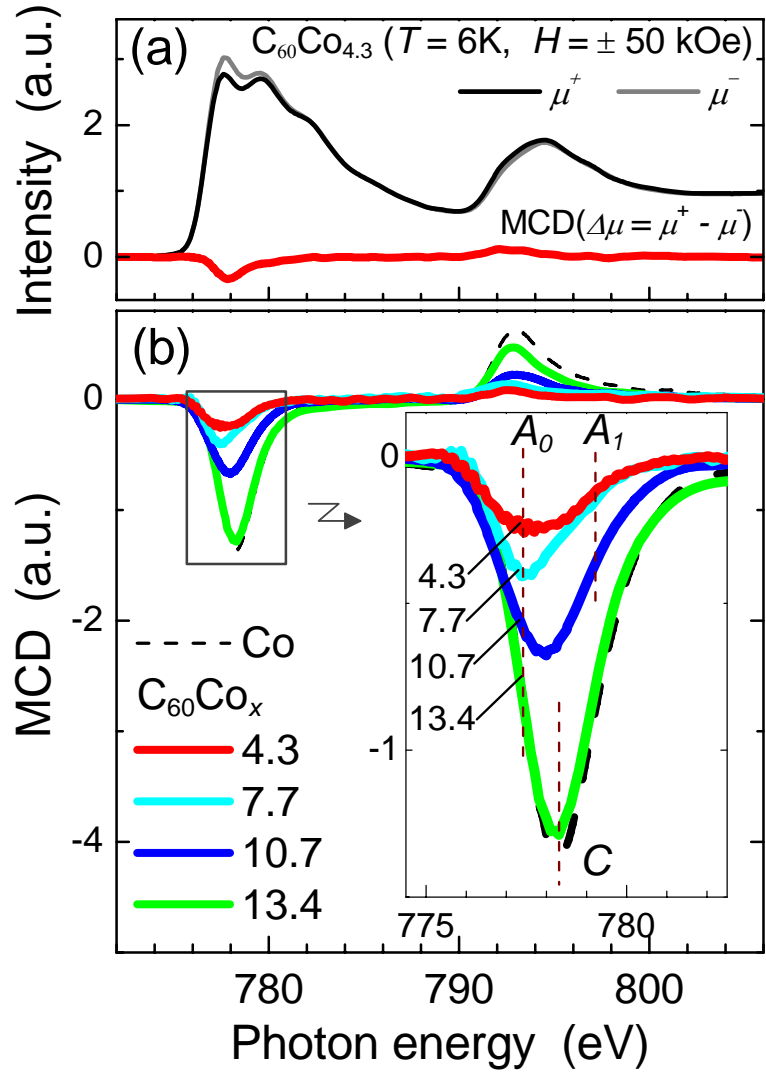


Distortion of C_{60} molecule

— XMCD spectra of $\text{C}_{60}\text{-Co}$ films



— XMCD spectra of $\text{C}_{60}\text{-Co}$ films



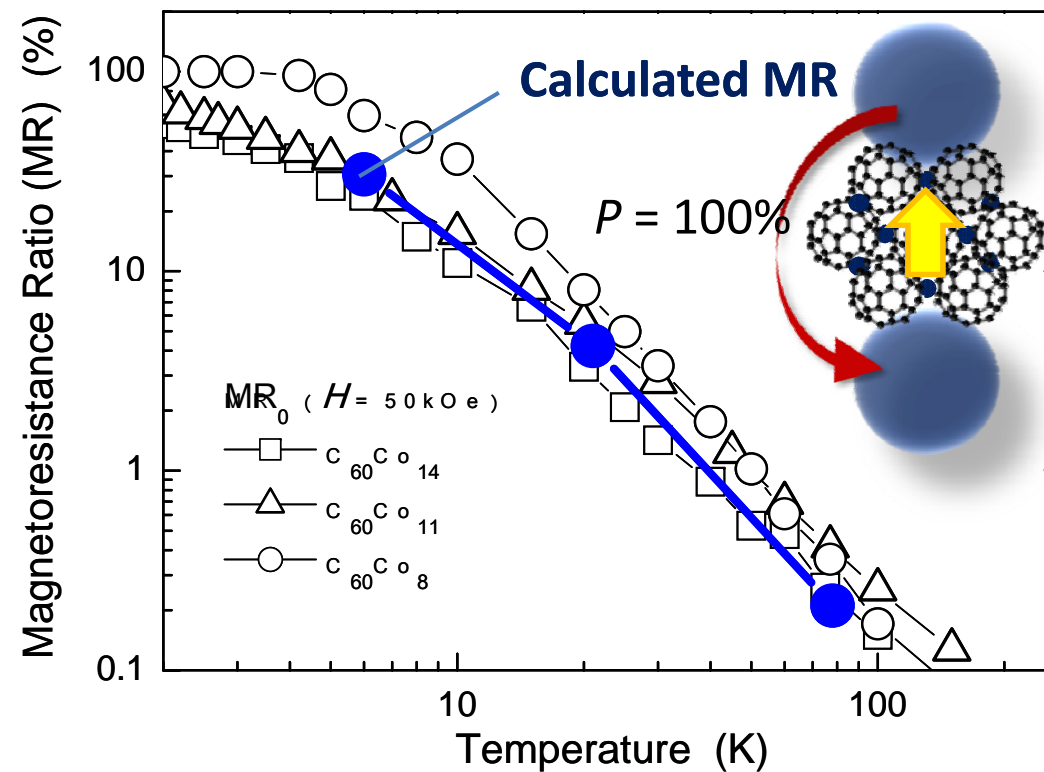
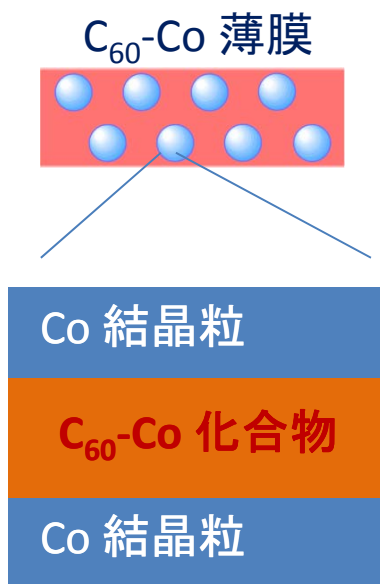
T-dependence of MR

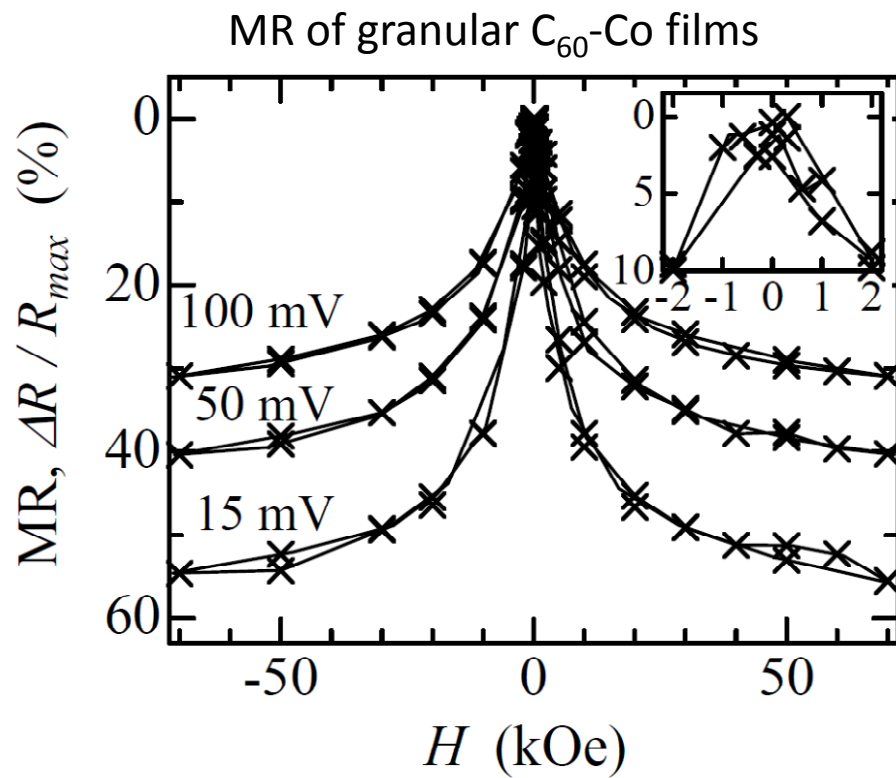
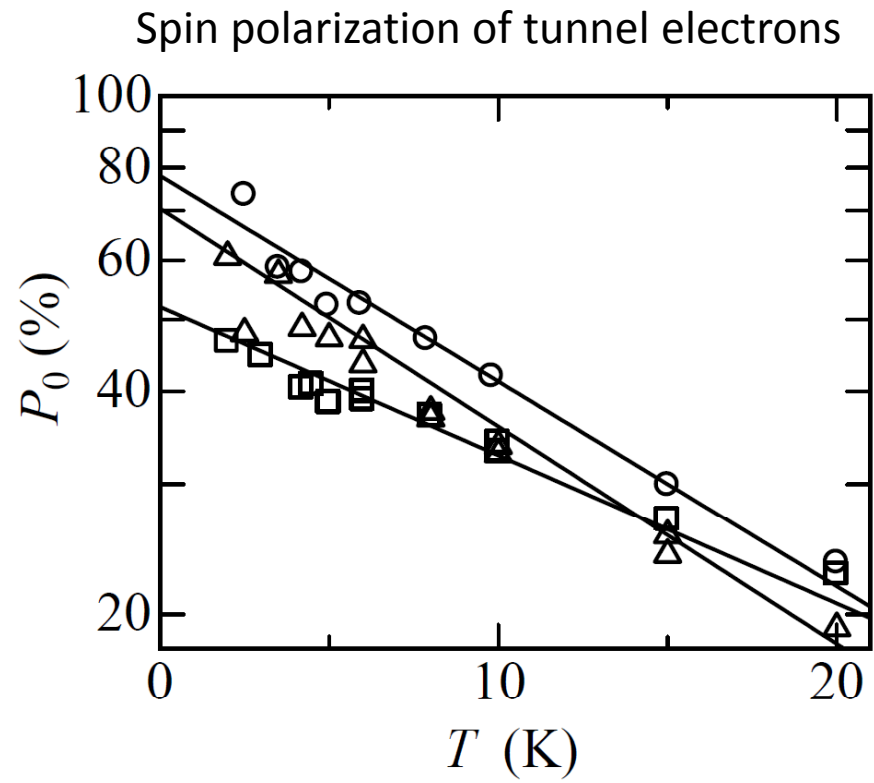
MRの理論モデル: $MR = P^2 / (1+P^2) = m^2 P^2 / (1 + m^2 P^2)$

S. Mitani et. al, PRL 81 (1998) 2799. J.Inoue and S. Maekawa, PRB 53 (1996) R11927.

C_{60} -Co化合物の局在dスピンの影響を仮定

$m = M_{\text{tot}} / M_{\text{sat}}$, $P = \sim 100\%$





MRの温度依存性: C₆₀-Co化合物中の局在dスピンに強く依存

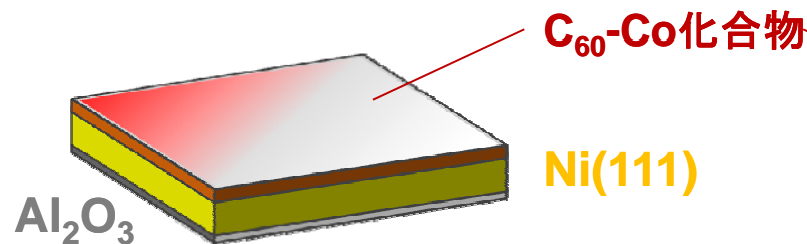
MRの磁場依存性: Co結晶粒の磁気的応答に類似

C₆₀-Co化合物/Co結晶粒界面の磁気状態

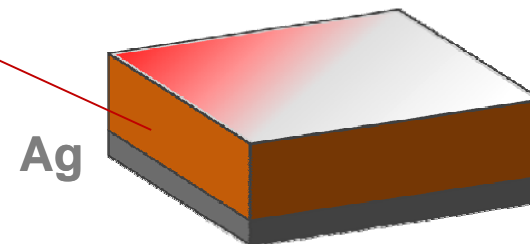
— C₆₀-Co compound / Ni structure

✓ C₆₀-Co化合物薄膜/磁性金属の積層試料

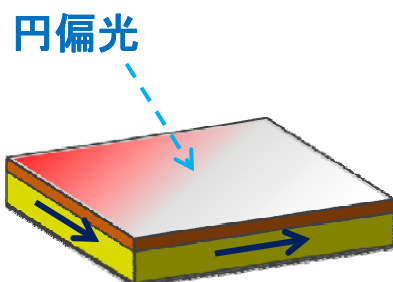
(A) C₆₀-Co 化合物 (3-5nm) / Ni(111)



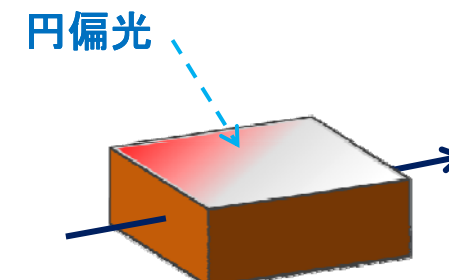
(B) C₆₀-Co 化合物 (30nm) / Ag



✓ 磁気円二色性測定方法

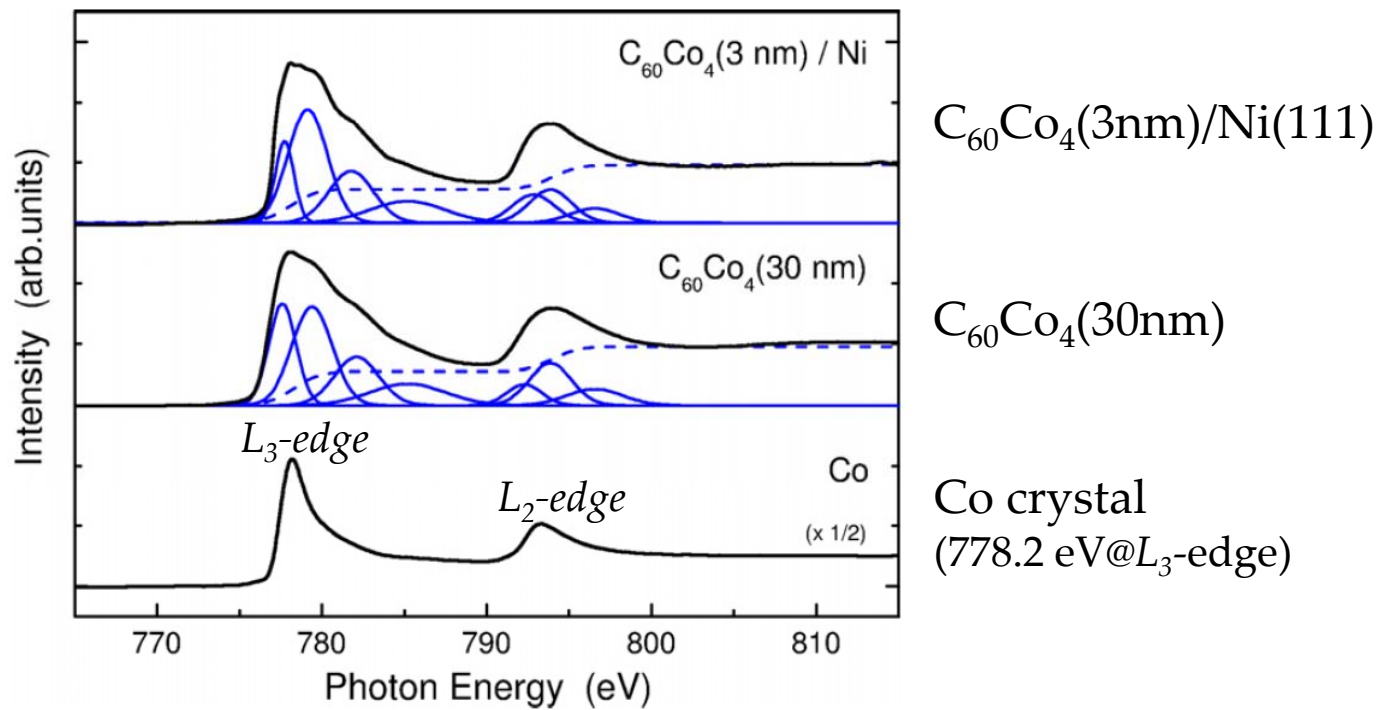


Ni磁化させた後、H=0kOeで測定



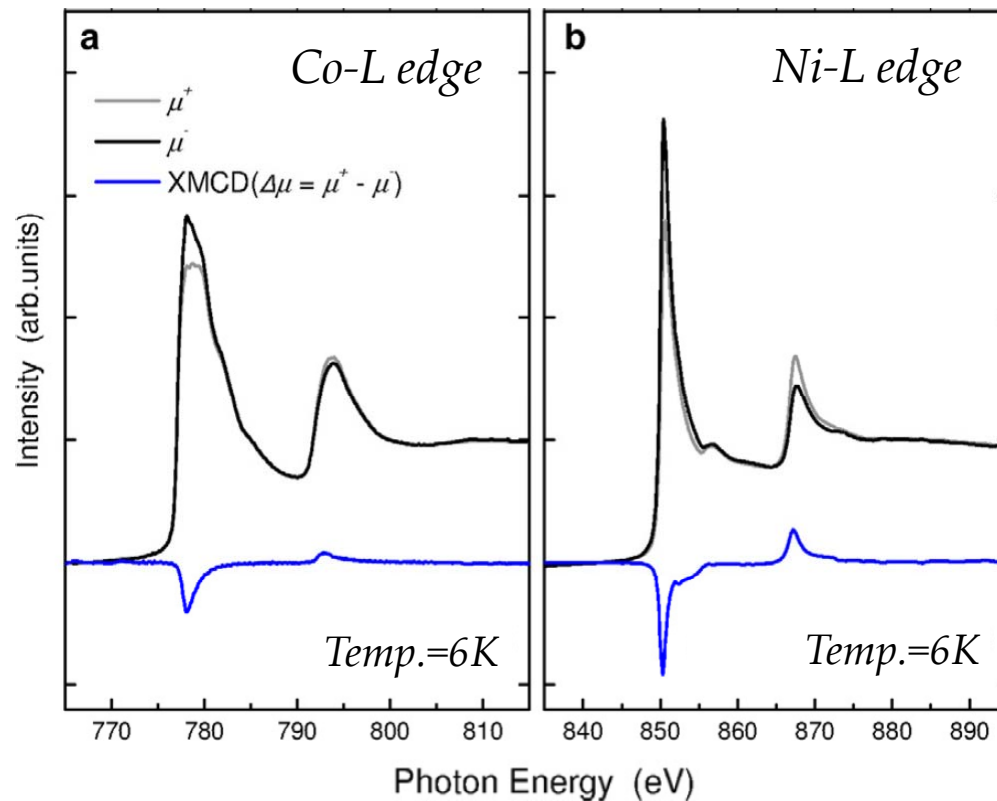
超伝導Mgにより、外部磁場を印加

— Co L-edge XAFS of $C_{60}Co_4$ with/without Ni

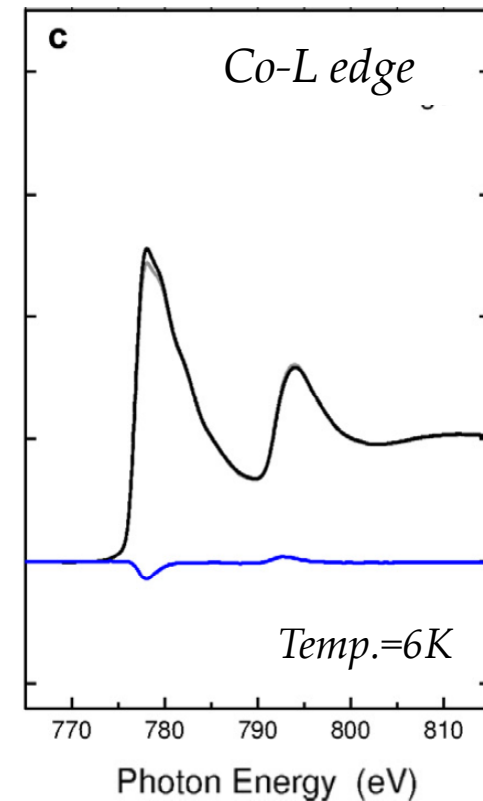


— XMCD of $C_{60}Co_4$ with/without Ni

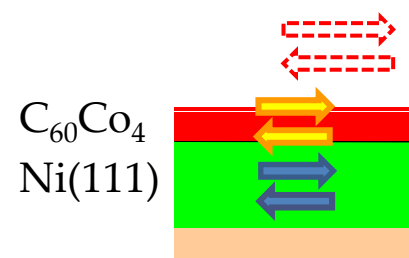
$C_{60}Co_4(3\text{nm})/\text{Ni}(111)$



$C_{60}Co_4(30\text{nm})$



Ferromagnetism
by Co d-electron spins

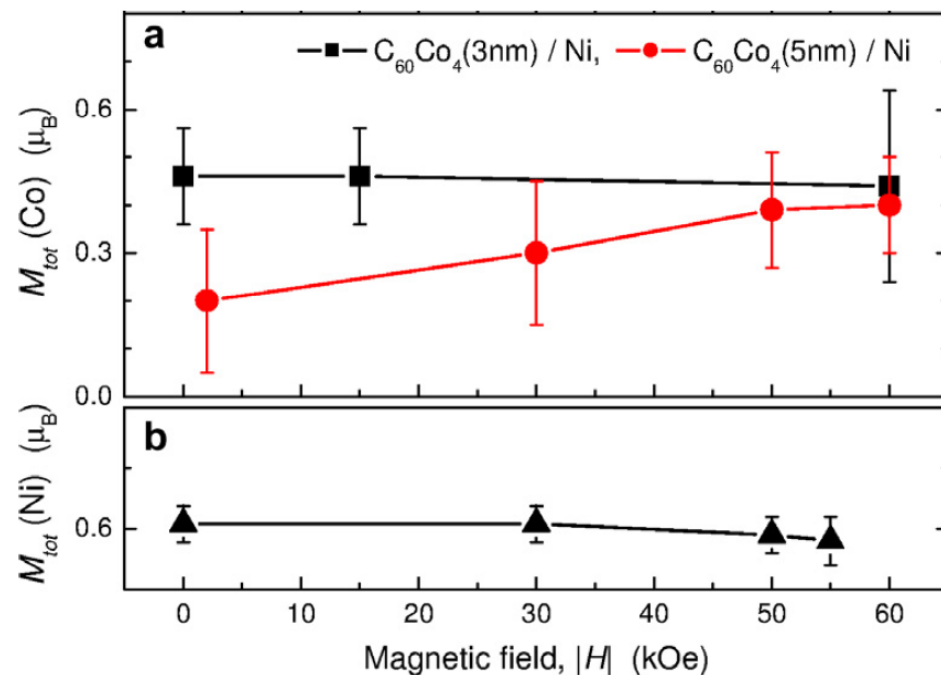


Remanent

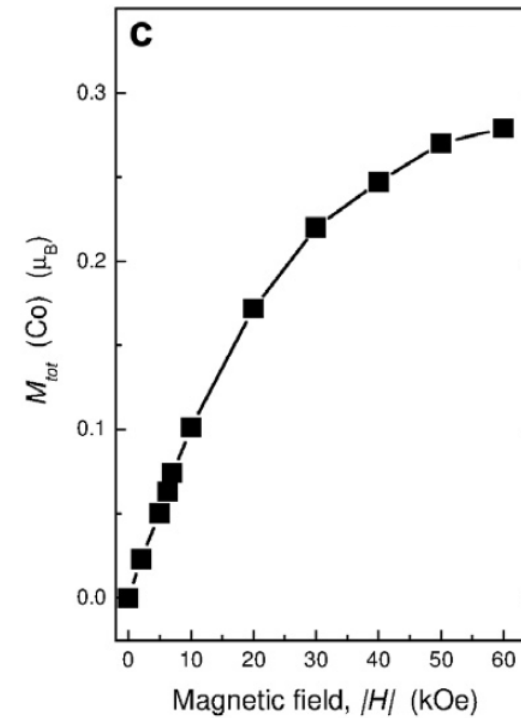
$H = \pm 10\text{kOe}$



— Field dependence of magnetization of $\text{C}_{60}\text{Co}_4/\text{Ni}$



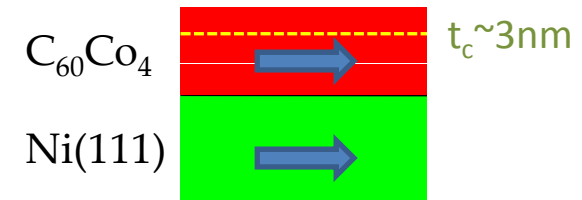
$\text{C}_{60}\text{Co}_4(3\text{nm}, 5\text{nm})/\text{Ni}(111)$



$\text{C}_{60}\text{Co}_4(30\text{nm})$

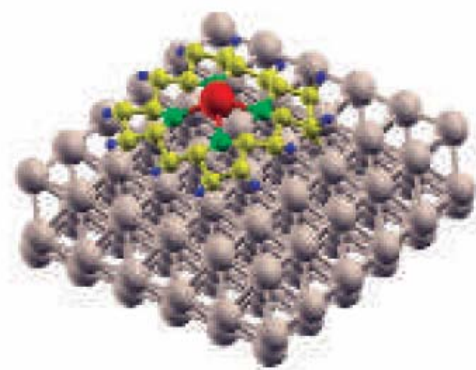
Ferromagnetic coupling of Co d-spins to Ni layer

- Critical thickness $t_c \approx 3\text{nm}$
- Stable up to 100 K

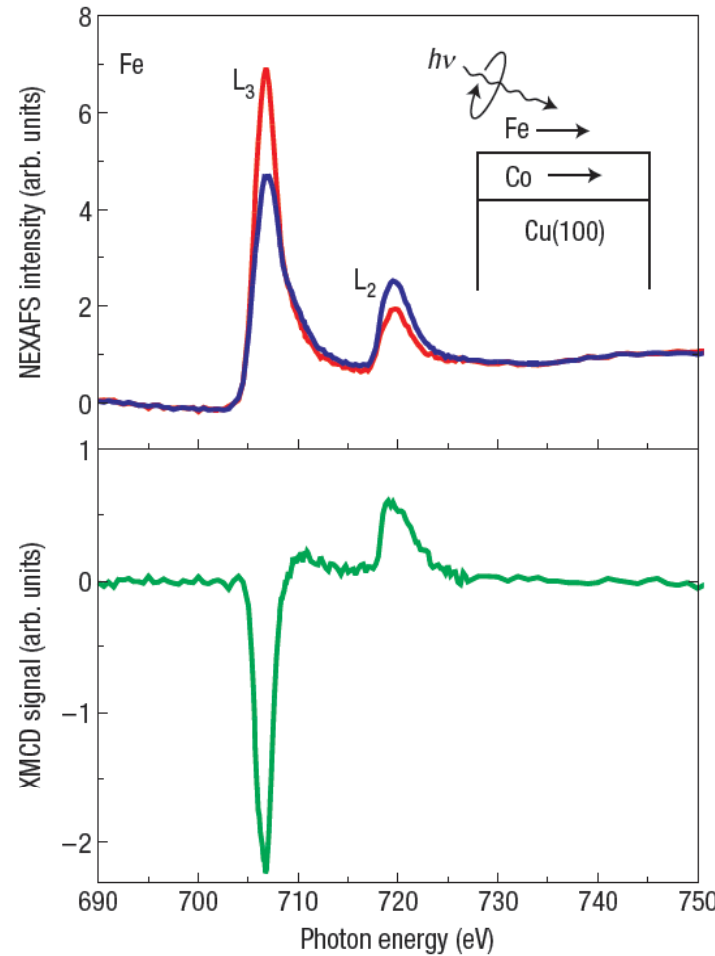


— XMCD of iron porphyrin monolayer adsorbed on Co

H. Wende et al., nature mater., 2007

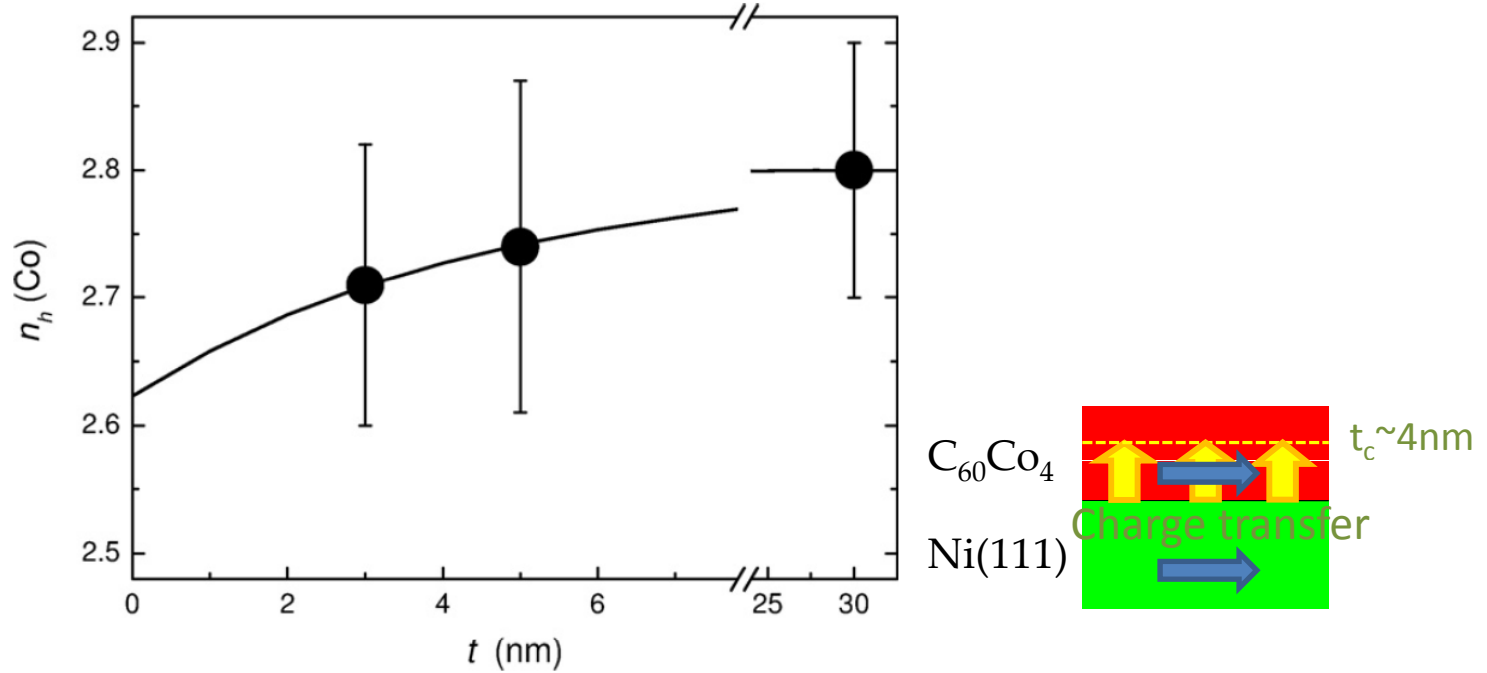


(Top) Schematic of Fe OEP molecules on Co surface
(Right) Fe L-edge XAS and XMCD spectra



Localized Fe spins are ferromagnetically coupled to Co

— Co 3d N_h vs. $C_{60}Co_4$ layer thickness



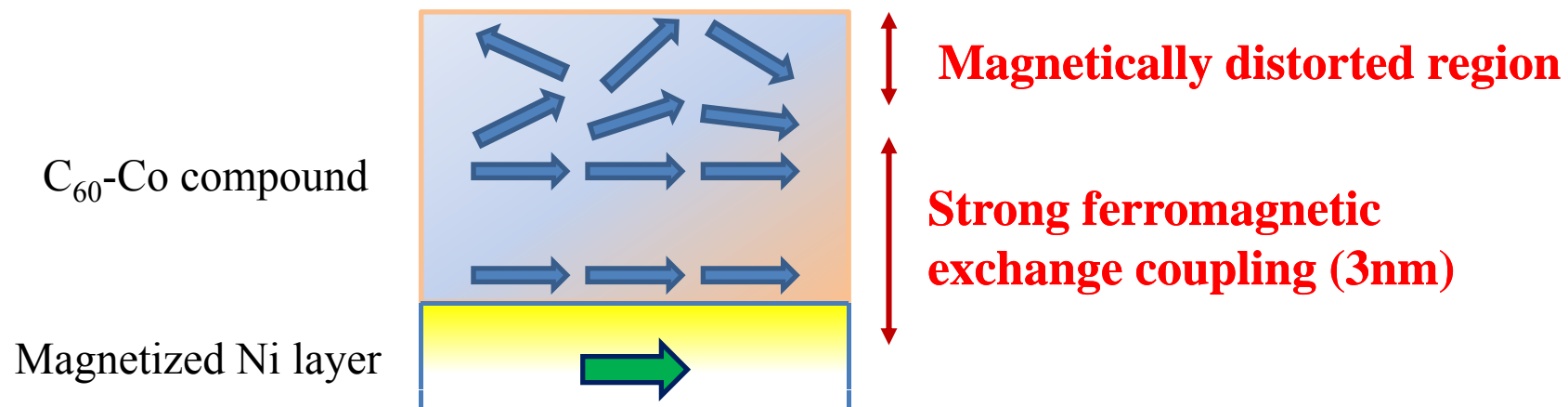
– 膜厚(t)の減少と共にCo 3d電子が増加

Occupation of Co 3d orbitals
by transferred electrons from Ni layer

Critical thickness $t_c \approx 4$ nm

— Summary

Electronic and magnetic properties of C_{60} -Co films and C_{60} -Co compound / FM interface



Long range Interlayer ferromagnetic coupling

Charge transfer : FM \rightarrow C₆₀-Co compound

~ Mechanism of high spin polarization at interface